

Diskrétne geometrické štruktúry

9.

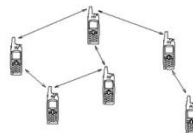
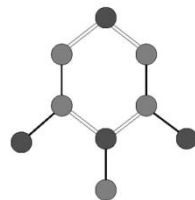
Martin Florek

florek@sccg.sk

www.sccg.sk/~florek

Proximity Graphs

- neighborhood graphs
- prináša susednosť, štruktúru, tvar, topológiu pre neštruktúrované dáta
- geometrické grafy – topológia je daná geometriou
- použitie vo výpočtovej geometrii, počítačové videnie, tvorba sietí, geografia, biológia,...

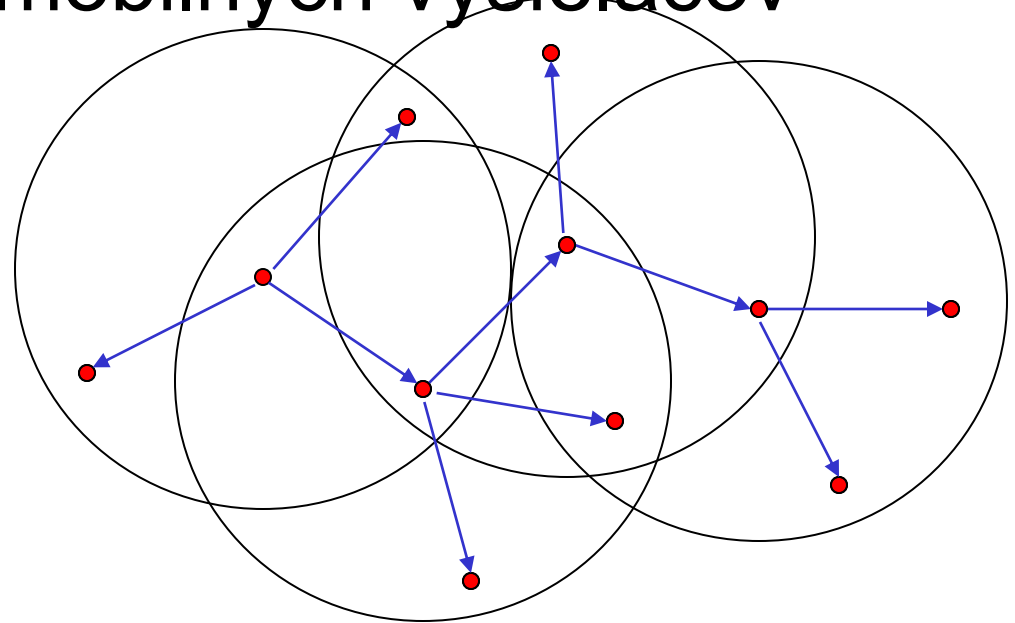


Definície

- pracujeme v nejakom metrickom priestore
- najčastejšie s Euklidovskou metrikou
- najčastejší vstup – množina bodov $V \in R^d$
- hrany spájajú vrcholy, ktoré sú si navzájom blízke (“proximity”)
- tým je definovaná topológia

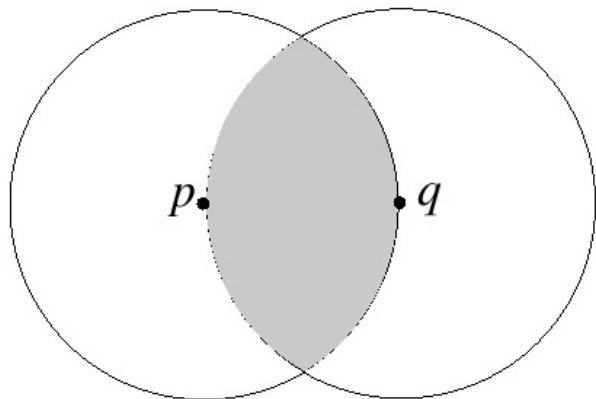
Jednoduché grafy

- Unit Disc Graph, UDG(V)
- graf sfér s jednotkovou délkou
- množina hrán je $E := \{pq \mid d(p, q) \leq 1\}$;
- vhodné pre siete mobilných vysieláčov



Relatívny graf susednosti

- relative neighborhood graph $RNG(V)$
- $L(p, q) = B(p, d) \cap B(q, d)$, kde $d = \|p - q\|$
- množina hrán $E := \{pq \mid L(p, q) \cap V = \emptyset\}$.



$$pq \in E \Leftrightarrow \nexists v \in V : d(p, v) < d(p, q) \wedge d(q, v) < d(p, q).$$

$$pq \in E \Leftrightarrow \forall v \in V : d(p, q) \leq \max \{d(p, v), d(q, v)\}.$$

Gabrielov graf

- definované pomocou sféry

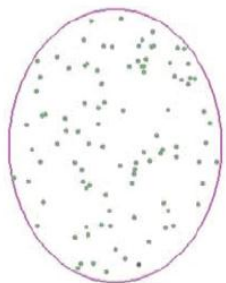
$$G(p, q) := B\left(\frac{p+q}{2}, \frac{d}{2}\right) \text{ kde } d = \|p - q\|$$

- GG(V) má množinu hrán

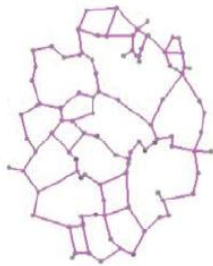
$$E := \{pq \mid G(p, q) \cap V = \emptyset\}.$$

$$pq \in E \Leftrightarrow \forall v \in V : d(p, q) \leq \sqrt{d^2(p, v) + d^2(q, v)}.$$

- rozšírenie v podobe elíps (EGG)



(a) Input points



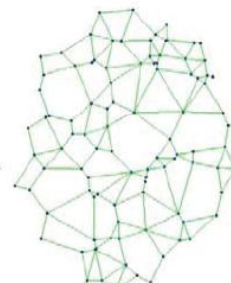
(b) RNG



(c) GG



(a) EGG(2.0)



(b) EGG(1.0)



(c) EGG(0.7)

β -kostry

- grafy dané parametrom β , $1 \leq \beta < \infty$

- označenie $BG_\beta(V)$

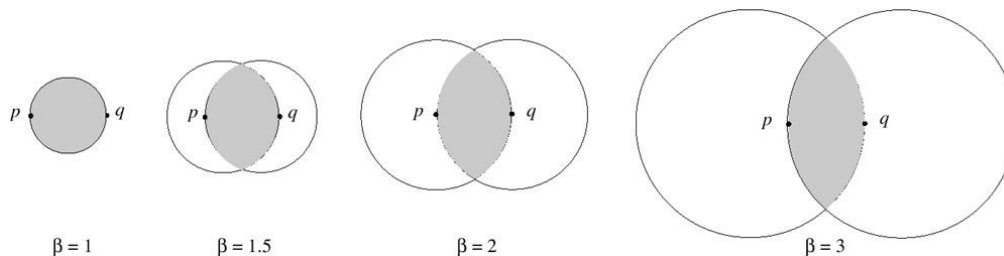
- okolie bodov p a q je dané

$$U_\beta(p, q) := B\left(\left(1 - \frac{\beta}{2}\right)\mathbf{p} + \frac{\beta}{2}\mathbf{q}, \frac{\beta}{2}d\right) \cap B\left(\left(1 - \frac{\beta}{2}\right)\mathbf{q} + \frac{\beta}{2}\mathbf{p}, \frac{\beta}{2}d\right),$$

- množina hrán $E := \{pq \mid U_\beta(p, q) \cap V = \emptyset\}$.

- $RNG(V) = BG_2(V)$, $GG(V) = BG_1(V)$

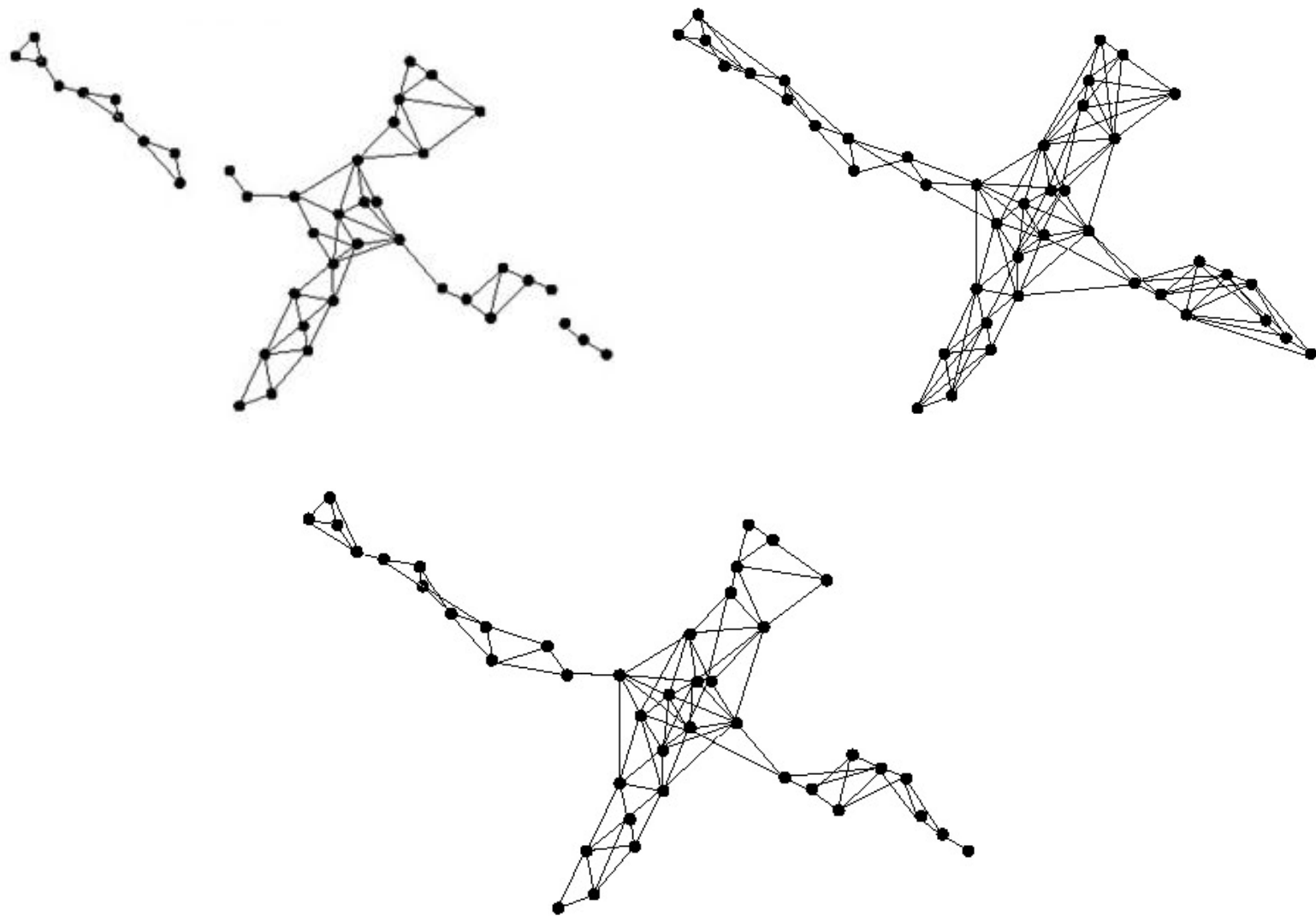
- ak $\beta_1 > \beta_2$, potom $BG_{\beta_1}(V) \subset BG_{\beta_2}(V)$



Sféry vplyvu

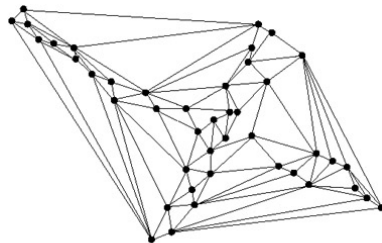
- sphere-of-influence graph, SIG(V)
- pre bod $p \in V$, r_p je vzdialenosť k najbližšiemu susedovi
- množina hrán $E := \{pq \mid d(p, q) \leq r_p + r_q\}$.
- nemusí byť spojitý \rightarrow
 - rozšírenie: r -SIG, r_p je vzdialenosť k r -tému najbližšiemu susedovi

SIG, 3-SIG, 3-SIG bez dlhých hrán

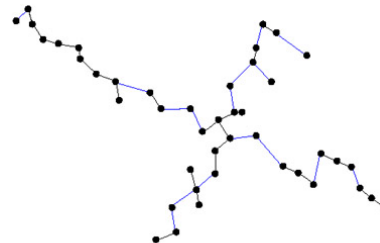


Geometrické grafy

- *Minimum Spanning Tree* (MST) spája body do stromu tak, aby súčet dĺžok hrán bol minimálny (minimálna kostra)
- *Delaunay graph* (DG) spája dva body p a q vtedy, ak existuje kružnica k , ktorá prechádza bodmi p , q a žiadne iné body nie sú vnútri kružnice k



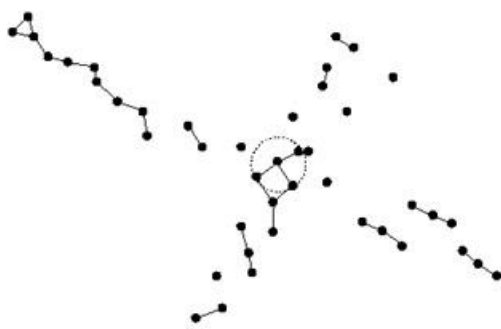
DG



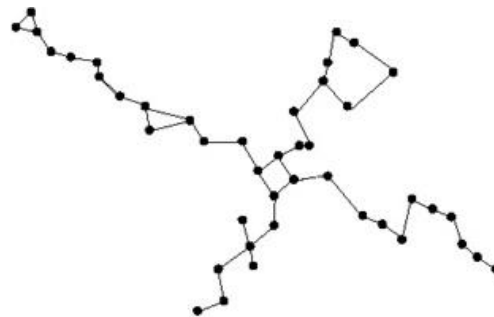
MST

Porovnanie

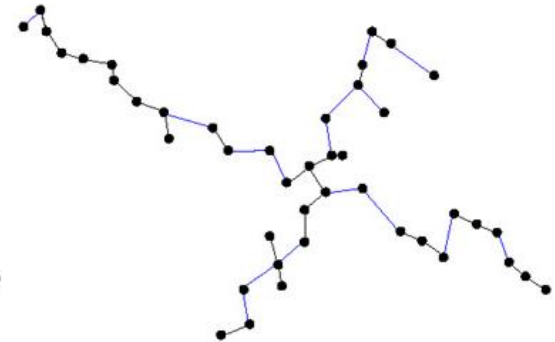
- $MST(V) \subseteq RNG(V) \subseteq GG(V) \subseteq DG(V)$.
- $|MST(V)| \leq |RNG(V)| \leq |GG(V)| \leq |DG(V)|$



Unit graph



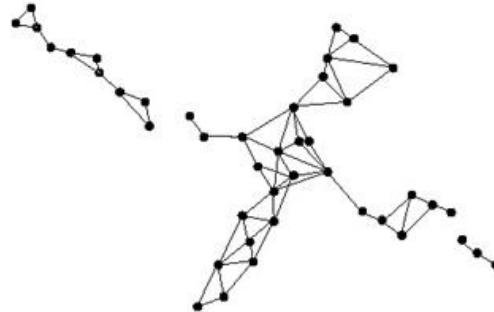
RNG



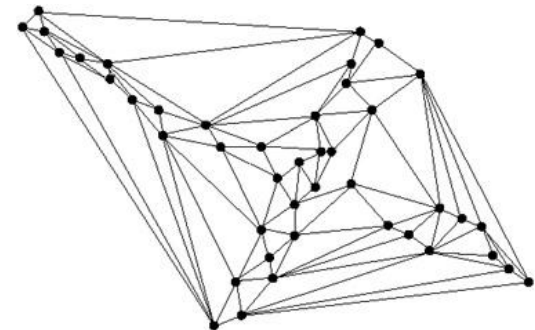
MST



GG



SIG



DG

Konštrukcia r-SIG

- v priemere lineárna časová zložitosť
- pamäťová zložitosť je tiež lineárna

```
CreatorSIG(r, V)
{
    initialize grid with n cells;
    for (all p in V)
        assign p to its grid cell;
    for (all p in V)
        find r-th nearest neighbor to p by searching the grid cells in spiral order around p with increasing distance;
    for (all p in V)
    {
        for (all cells around p that intersect the sphere of influence around p (in spiral order))
            assign p to cell;
    }
    for (all cells in the grid)
    {
        for (all pairs  $p_i, p_j$  of points assigned to the current cell)
        {
            if (spheres of influence of  $p_i$  and  $p_j$  intersect)
                create edge  $p_i p_j$ ;
        }
    }
}
```

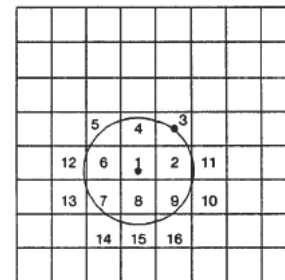


Fig. 1 Spiral nearest neighbor search using cells.

Voronoi diagram

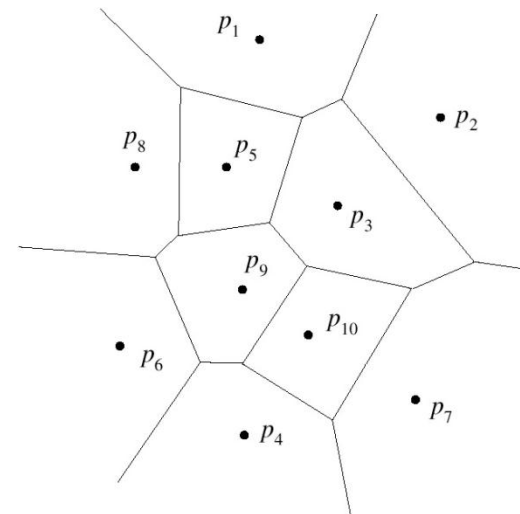
- geometrický graf
- pre danú množinu bodov $S = \{p_1, p_2, \dots, p_n\}$, každá stena VD je priradená jednému bodu p_i a pre každý bod oblasti je tento bod bližšie k p_i ako ku inému bodu z S

$$\text{Bis}(p_i, p_j) = \{x \mid d(p_i, x) = d(p_j, x)\}$$

$$H(p_i, p_j) = \{x \mid d(p_i, x) < d(p_j, x)\}$$

$$\text{VoR}(p_i, S) = \bigcap_{p_j \in S, p_j \neq p_i} H(p_i, p_j).$$

$$\text{VD}(S) := \bigcup_{p_i, p_j \in S, p_i \neq p_j} \overline{\text{VoR}(p_i, S)} \cap \overline{\text{VoR}(p_j, S)}.$$

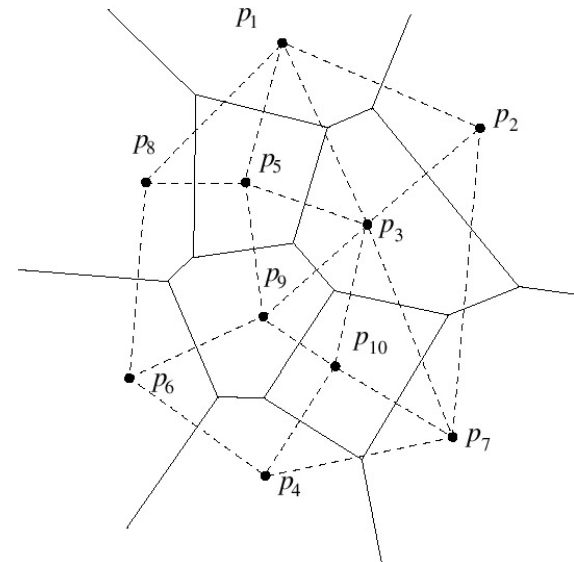


Vlastnosti VD

- $\text{VoR}(p_i, S)$ je prienikom max $n-1$ polrovín, je to otvorená a konvexná množina
- $\text{VoR}(p_i, S)$ je neohraničná práve vtedy keď p_i patrí do konvexného obalu S
- VD má $O(n)$ hrán a vrcholov
- priemerný počet hrán na hranici $\text{VoR}(p_i, S)$ je menší ako 6

Delaunayova Triangulácia

- pre množinu bodov S a $VD(S)$, $DT(S)$ je duálny graf k VD
- body p_i, p_j, p_k tvoria trojuholník v $DT \Leftrightarrow$ kružnica prechádzajúca tromi bodmi neobsahuje vnútri ani na hranici iný bod z S
- DT maximalizuje minimálny vnútorný uhol

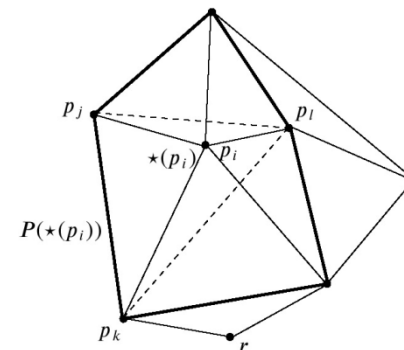
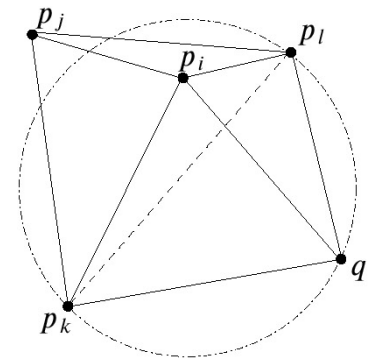
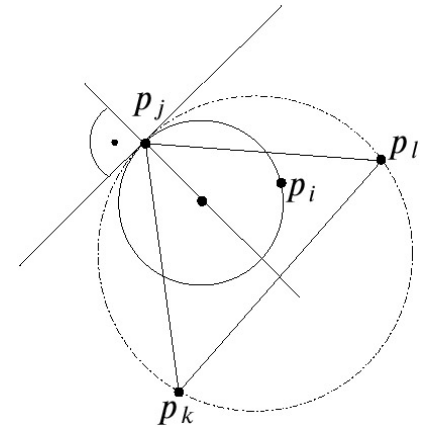


Konštrukcia DT

- algoritmus vkladania nového bodu p do DT
- dva prípady – bod vložíme do konvexného obalu S alebo mimo
- po vložení sa kontroluje, či sa neporušila vlastnosť DT
- pri porušení sa vykonáva otočenie hrany v „zlom“ štvoruholníku

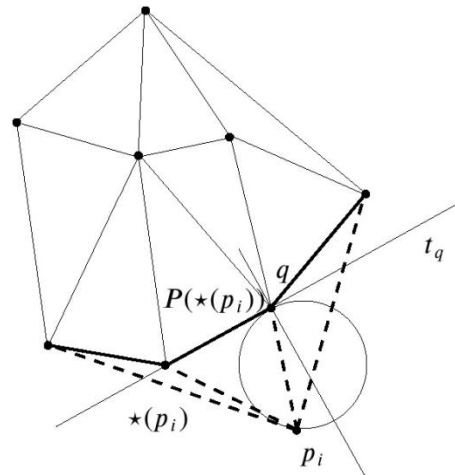
1. prípad

- p_i leží v $T = \Delta(p_j, p_k, p_l)$
- hrany $p_i p_j, p_i p_k, p_i p_l$ patria novej DT
- konflikt môže nastať v Δ ktoré sú susedné s T
- vtedy sa otočí hrana T
- konflikt aj v ďalších Δ
- ak hrany $P^*(p_i)$ sú z DT, koniec

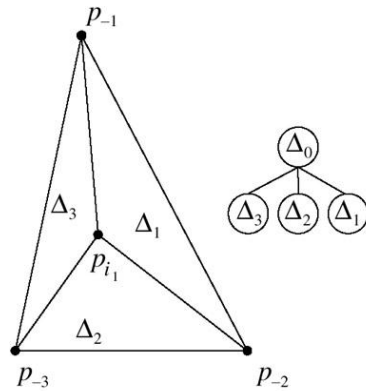


2. prípad

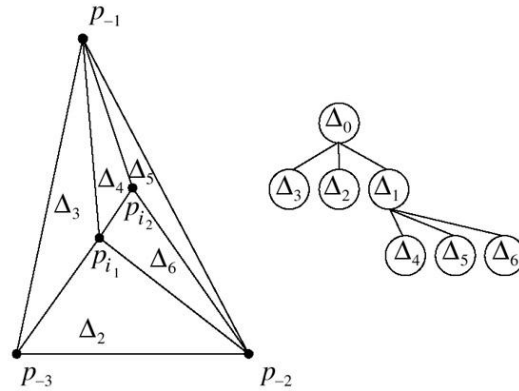
- ak p_i leží z vonku konvexného obalu pôvodnej DT
- pre všetky body q z S , ktoré sú „viditeľné“ z p_i , $p_i q$ bude patriť novej DT
- niektoré hrany na hranici bude treba otočiť



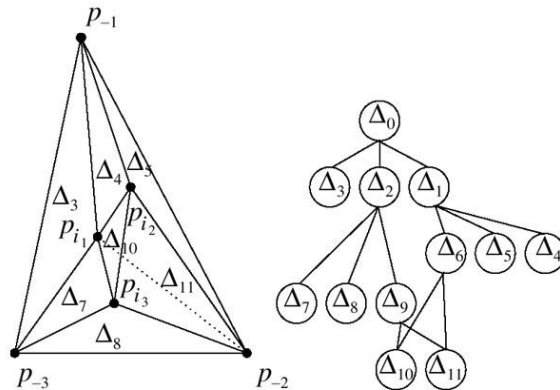
nájdenie trojuholníka



1)



2)



3)

Algorithmus

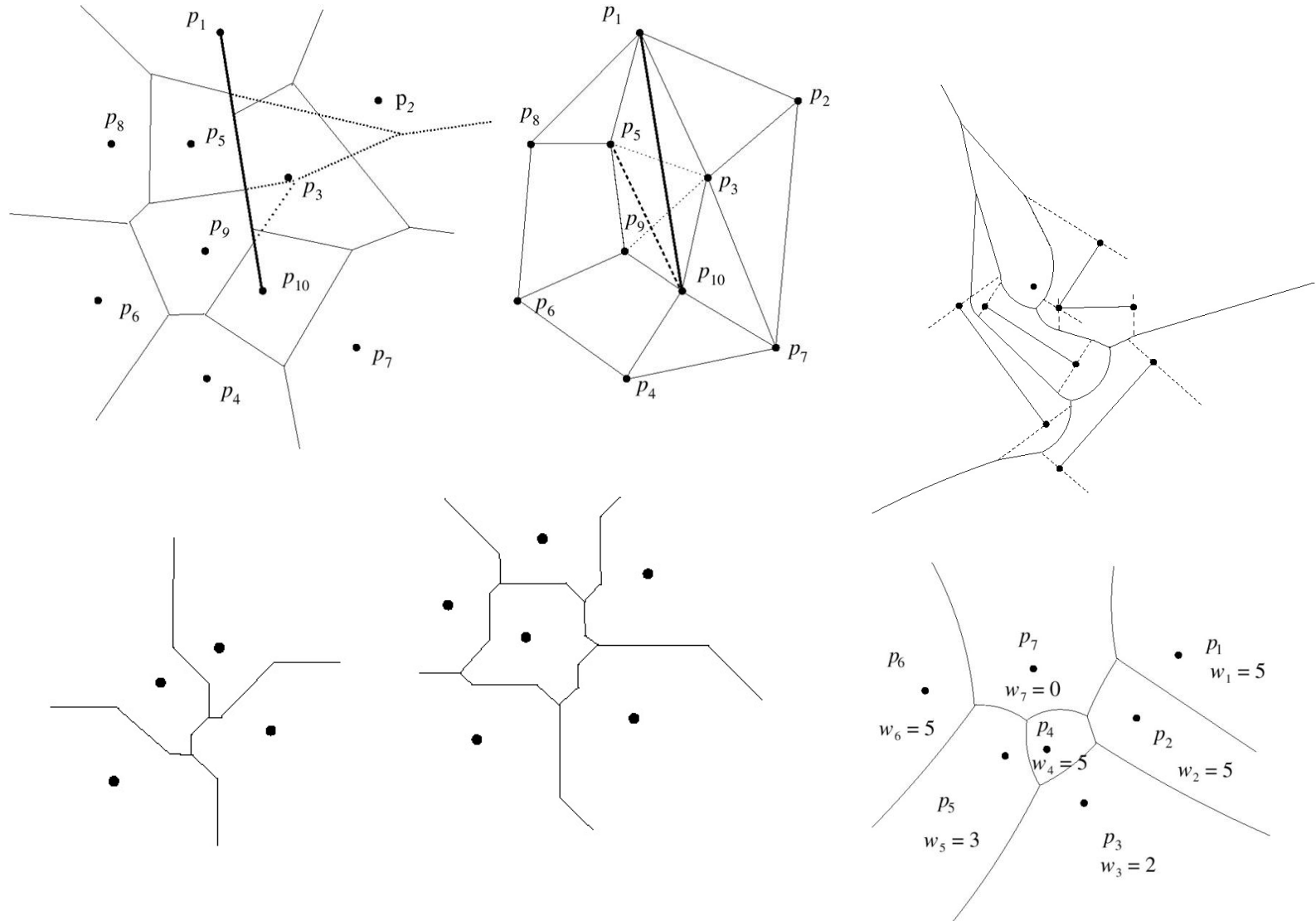
```
Delaunay(S) (S is set of sites)
{
    T = new array;
    while (S.size() > 0)
    {
        p = S.First;
        S.DeleteFirst;
        T.InsertSite(p);
    }
}
```

```
InsertSite(T, p) (T represents the current Delaunay triangulation, p is a new site)
{
    t = T.FindTriangle(p);
    if (t == NULL)
        Star(p) = T.OuterTriangle(p);
    else
        Star(p) := T.Edges(t, p);
    T.Insert(Star(p), t);
    StarPoly = t.Edges();
    while (StarPoly.size() > 0)
    {
        e = StarPoly.First();
        StarPoly.DeleteFirst();
        q = p.Opposite(e);
        if (q ≠ NULL)
        {
            (r, s) = e.EndPoints();
            if (InCircleTest(p, r, s, q))
            {
                T.Remove(e);
                T.Add((p, q));
                StarPoly.Add((r,q));
                StarPoly.Add((s,q));
            }
        }
    }
}
```

Zovšeobecnenia VD, DT

- rozšírenie do vyšších dimenzií, 3D – tetrahedralizácia
- použitie obmedzení – sú dané časti (hrany, ...), ktoré triangulácia obsahuje (Constrained DT), obmedzujúca metrika pre VD
- použitie iných metrík
- váhovanie $w(p_i)d(p_i, q) = w(p_j)d(p_j, q)$
- rozšírenie bodov na zložitejšie objekty

Zovšeobecnenia



Mračná bodov

- jednoduchá množina bodov
- výstup z mnohých meracích zariadení
- rozvíjajúca sa oblasť v modelovaní a vizualizácii
- potreba definovania povrchu



Generovanie povrchu

- priamo nie sú dobre použiteľné
- nutnosť vygenerovať povrch – polygonálny model
 - vygenerovanie implicitného povrchu
 - marching cubes/triangles
 - ball-pivoting
- priame použitie pri porovnávaní súčastok

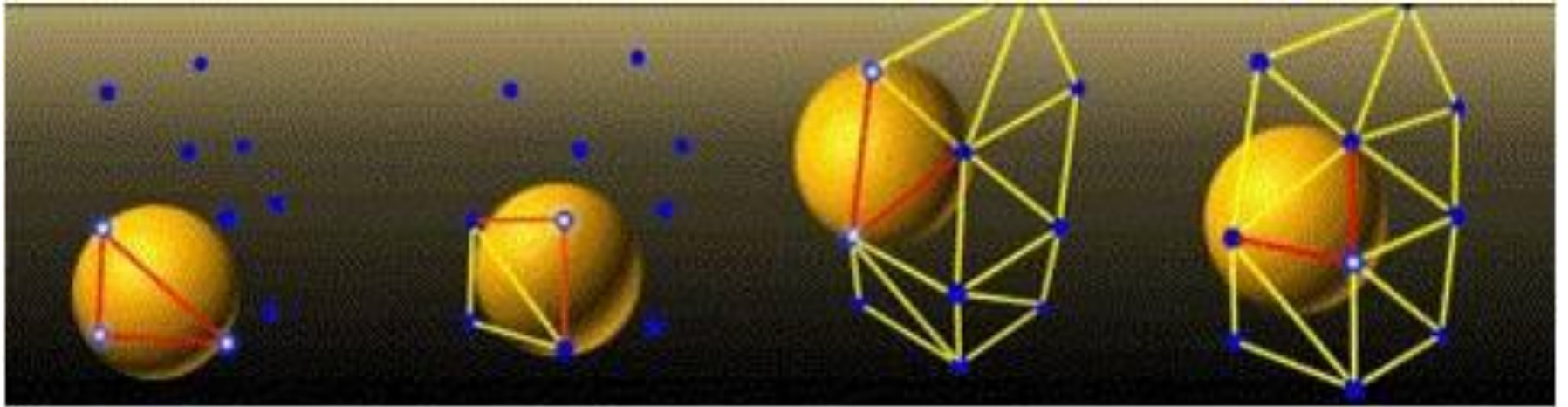
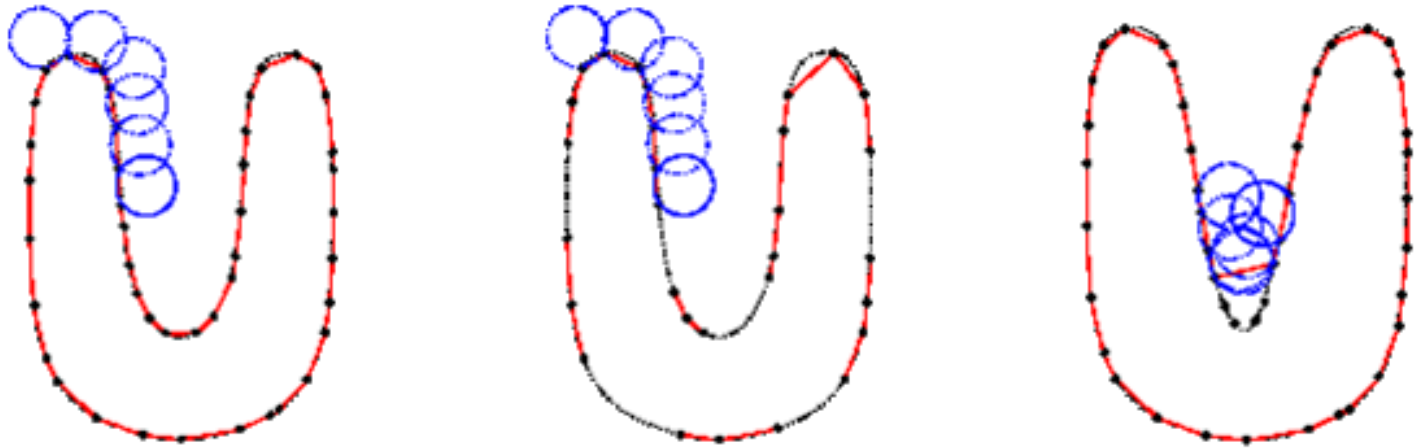
Marching cubes/triangles

- ako pri iso povrchoch
- marching triangles rešia nejednoznačnosť prípadov z marching cubes algoritmu
- adaptívne marching triangles
 - lokálne spĺňa podmienku DT
 - zo štartovacieho trojuholníka pridávame ďalšie

Ball-pivoting

- „gúľanie lopty po povrchu“
- najskôr sa vyrátajú normály bodov
- voxelová štruktúra
- zvolíme si priemer sféry
- štartovací trojuholník
- gúľame sa po hranách
- viac komponent

Ball-pivoting 2



Problémy

- chýbajúce body
- merania z viacerých strán a spájanie do jednej množiny
- vela bodov (nedostatok pamäte) – riešenie po pásoch

Distance fields

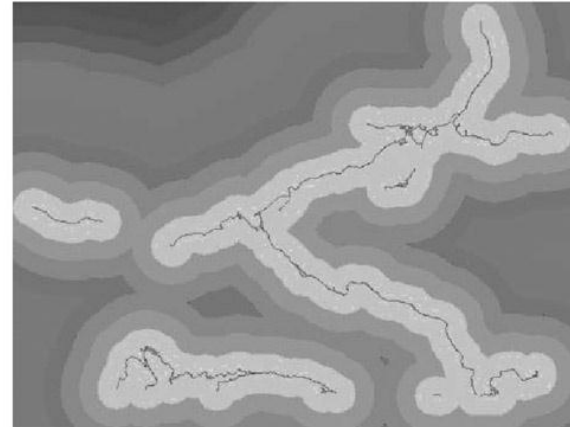
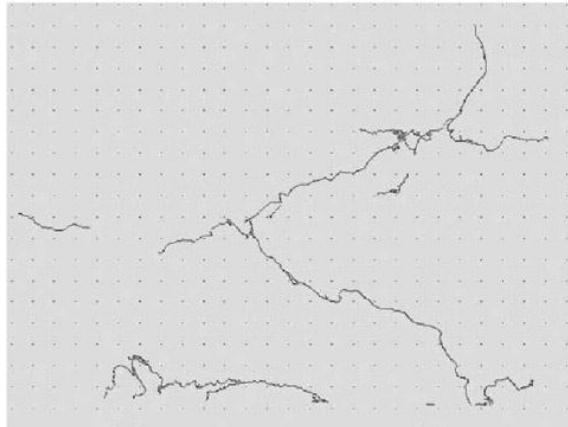
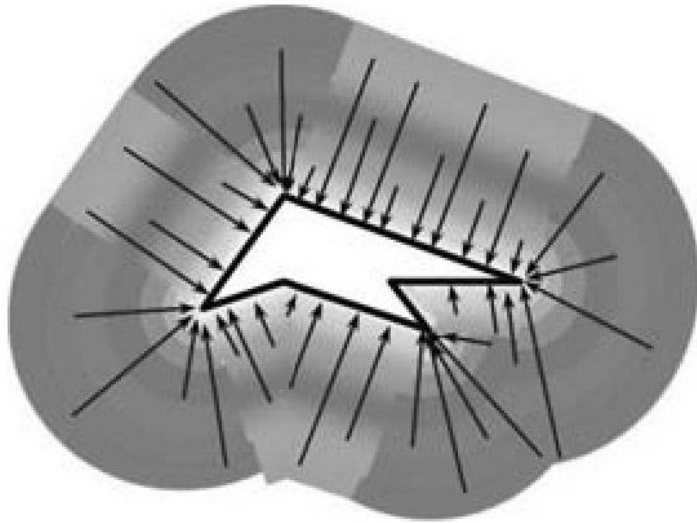
- Funkcia určujúca vzdialenosť k danému objektu
- Pre množinu Σ , unsigned distance function je $\text{dist}_\Sigma(\mathbf{p}) = \inf_{\mathbf{x} \in \Sigma} \|\mathbf{x} - \mathbf{p}\|$.
- Rozšírenie – vzdialenostné vektory
- Vzdialenosť ku objektu S so znamienkom

$$d_S(\mathbf{p}) = \text{sgn}(\mathbf{p}) \inf_{\mathbf{x} \in \partial S} \|\mathbf{x} - \mathbf{p}\|,$$

where

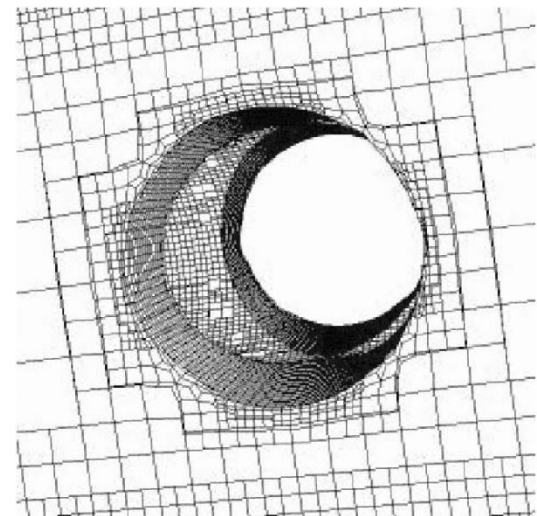
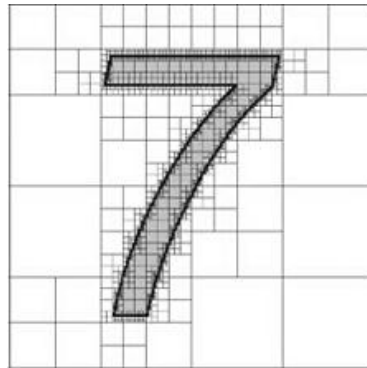
$$\text{sgn}(\mathbf{p}) = \begin{cases} -1 & \text{if } \mathbf{p} \in S \\ 1 & \text{otherwise.} \end{cases}$$

Príklady



Reprezentácie

- Regulárna mriežka
- Hierarchická mriežka
- Adaptívne pole – quadtree, octree, bsp...



Vlastnosti

- Isopovrch pre isohodnotu τ $\{\mathbf{p} | d(\mathbf{p}) = \tau\}$
- Gradient $\|\nabla d\| = 1$ pre takmer všetky body, smer gradientu kolmý na isopovrch
- Hesián
$$H = \begin{pmatrix} d_{xx} & d_{xy} & d_{xz} \\ d_{yx} & d_{yy} & d_{yz} \\ d_{zx} & d_{zy} & d_{zz} \end{pmatrix}$$
- Stredná krivosť $\kappa_M = \frac{1}{2} (d_{xx} + d_{yy} + d_{zz})$
- Gaussova krivosť
$$\kappa_G = \begin{vmatrix} d_{xx} & d_{xy} \\ d_{yx} & d_{yy} \end{vmatrix} + \begin{vmatrix} d_{xx} & d_{xz} \\ d_{zx} & d_{zz} \end{vmatrix} + \begin{vmatrix} d_{yy} & d_{yz} \\ d_{zy} & d_{zz} \end{vmatrix}$$

Vlastnosti 2

- Vzdialenostná funkcia je spojitá
- Problémové body – body rovnako vzdialené od aspoň dvoch bodov na povrchu – cut locus
- Pre C^k povrch, funkcia je C^k v nejakom okolí bodu na povrchu
- Funkcia je diferencovateľná až na body z cut locus

Diskretizácia

- Vzorkovanie vzdialenostnej funkcie
- Rôzne formy vzoriek – mriežky, grid
- Je potrebné zachytiť detaily a určiť problémové miesta – cut locus
- Potreba aproximácie gradientu

$$g_{i,j,k}^x = d_{i+1,j,k} - d_{i-1,j,k}$$

$$g_{i,j,k}^y = d_{i,j+1,k} - d_{i,j-1,k}$$

$$g_{i,j,k}^z = d_{i,j,k+1} - d_{i,j,k-1}$$

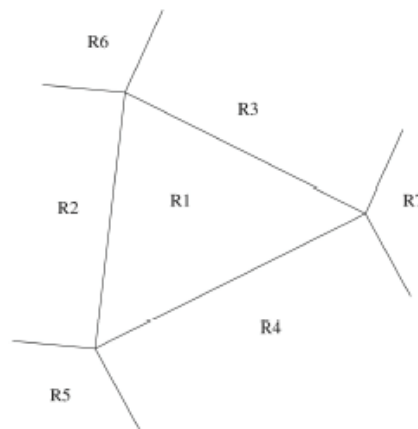
$$n_{i,j,k} = \frac{g_{i,j,k}}{\|g_{i,j,k}\|} .$$

Výpočet DF (Voxelization)

- Brute-force – pre každý mrežový bod (voxel) sa určí najmenšia vzdialenosť k objektu
- Časovo náročné
- Zlepšenia:
 - Na základe priestorového usporiadania častí objektu sa kontrolujú iba najbližšie objekty
 - Výpočet iba v niektorých častiach a následná propagácia do ďalších častí pomocou transformácií

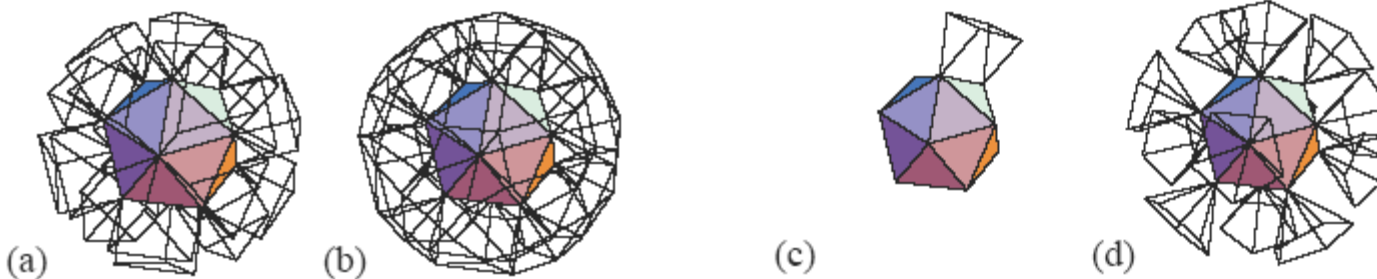
Voxelizácia z trojuholníkov

- Trojuholníky tvoria uzatvorené, orientovateľné 2-manifolds
- Vzdialenosť bodu a trojuholníka – 7 prípadov pri projekcii bodu do roviny trojuholníka
- Urýchlenie prehľadávania – ohraničujúce objemy, octrees



Lokálne metódy

- Pre výpočet vzdialenosti do určitej veľkosti
- Rozšírenie ohraničujúceho objemu trojuholníka o danú hodnotu
- Identifikácia oblastí vzdialených od povrchu o max. Danú hodnotu



Distance Transforms

- Výpočet vzdialeností na základe informácií blízko povrchu
- Spôsob prechodu mriežkou:
 - Zametanie – po jednotlivých rezoch a riadkoch
 - Wavefront – od povrchu ku stále väčším vzdialenostiam

Výpočet pre voxel

- Chamfer:
 - Nová vzdialenosť pre voxel je vypočítaná zo vzdialeností okolitých voxelov
- Vector:
 - Nový vektor vzdialenosti je vypočítaný z vektorov okolitých voxelov

Chamfer

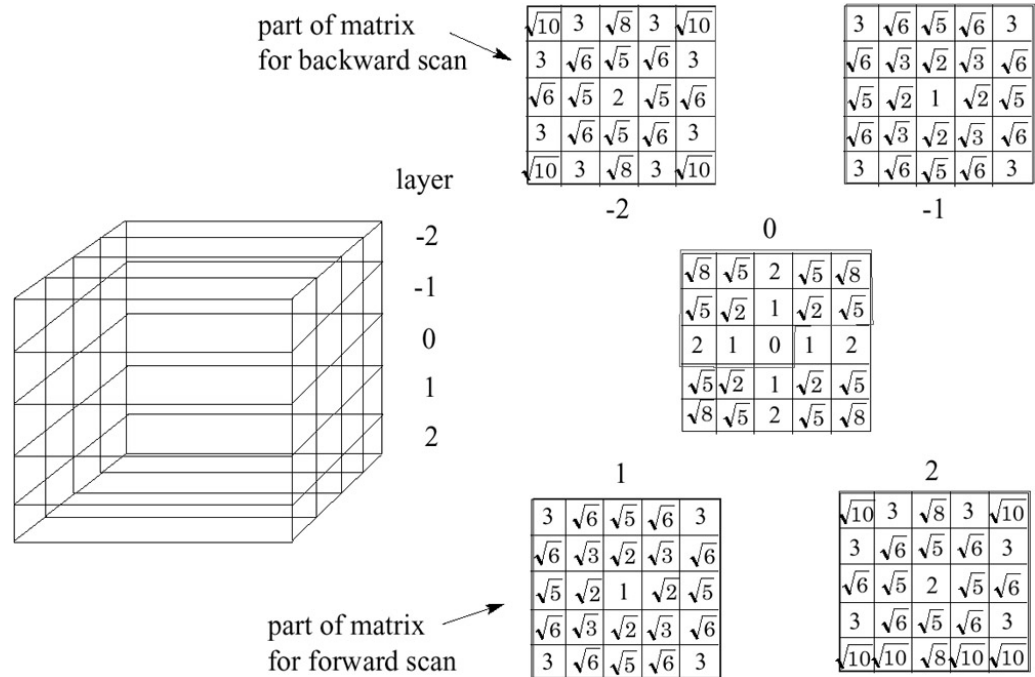
Transform	a	b	c	d	e	f
City Block (Manhattan)	1					
Chessboard	1	1				
Quasi-Euclidean $3 \times 3 \times 3$	1	$\sqrt{2}$				
Complete Euclidean $3 \times 3 \times 3$	1	$\sqrt{2}$	$\sqrt{3}$			
$\langle a, b, c \rangle_{opt} 3 \times 3 \times 3 [102]$	0.92644	1.34065	1.65849			
Quasi-Euclidean $5 \times 5 \times 5$	1	$\sqrt{2}$	$\sqrt{3}$	$\sqrt{5}$	$\sqrt{6}$	3

- Sweeping:

```

/* Forward Pass */
FOR(z = 0; z < f_z; z++)
  FOR(y = 0; y < f_y; y++)
    FOR(x = 0; x < f_x; x++)
      F[x,y,z] =
        inf_{i,j,k \in fp} (F[x+i,y+j,z+k] + m[i,j,k])

/* Backward Pass */
FOR(z = f_z-1; z >= 0; z--)
  FOR(y = f_y-1; y >= 0; y--)
    FOR(x = f_x-1; x >= 0; x--)
      F[x,y,z] =
        inf_{i,j,k \in bp} (F[x+i,y+j,z+k] + m[i,j,k])
  
```

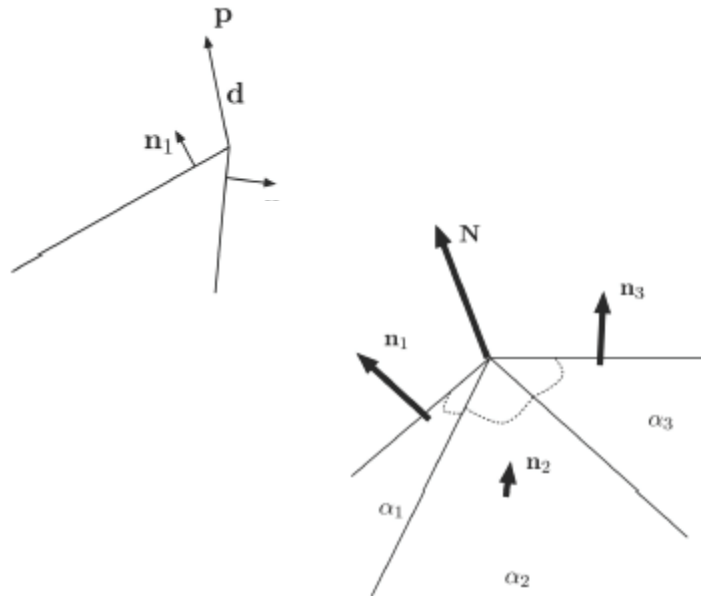


- Wavefront:

- Prioritná fronta pre voxely s najmenšou vzdialenosťou

Výpočet znamienka

- Pre C^1 povrchy, stačí nájsť skalárny súčin vektora vzdialenosti a normály
- Množina trojuholníkov nie je C^1
- Iný výpočet:
 - Pseudonormály
 - Vysielanie lúča
 - Konverzia rezov

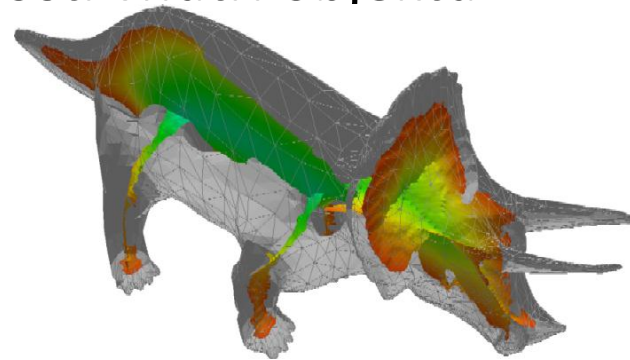
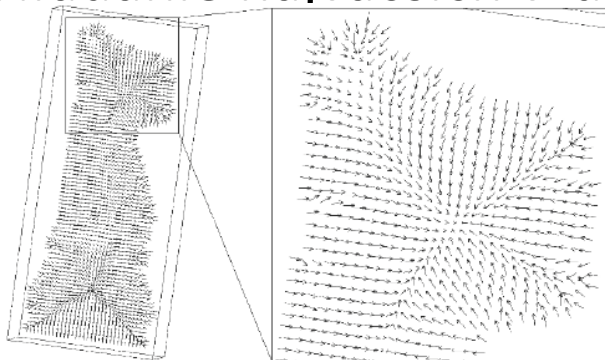


Aplikácie

- Repräsentácia objektov, výhoda oproti binárnym voxelom, napr. aproximačné určenie najbližšieho bodu $\mathbf{p}_f = \mathbf{p} - \nabla d_S(\mathbf{p})d_S(\mathbf{p})$
- Modelovacie schopnosti
- Animácie, morfining
- Image processing
- Fyzikálne simulácie

Kostra, stredná os

- Vytvorenie jednoduchého objektu ktorý aproximuje daný objekt
- Využitie v kinematike,
- Analýza DF
 - Hľadanie nespojitostí v derivácii DF
 - Porovnávanie smerových vektorov k najbližším bodom na povrchu
 - Hľadanie najväčších vzdialeností vnútri objektu

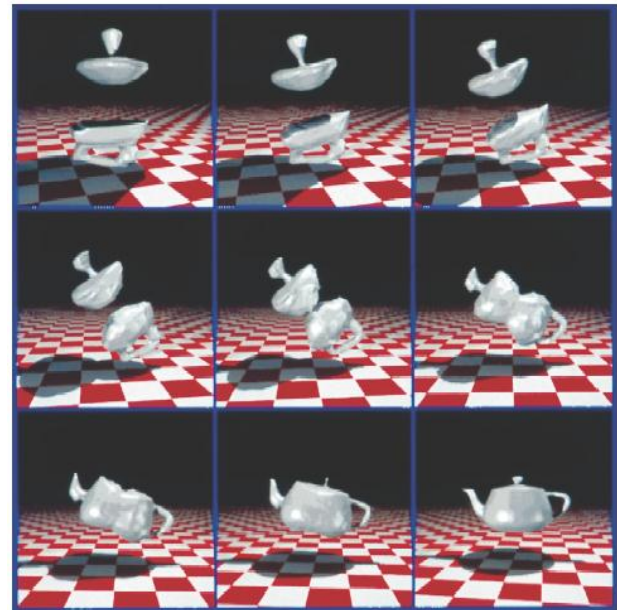


Morfing

- Prechod medzi dvoma objektami v čase

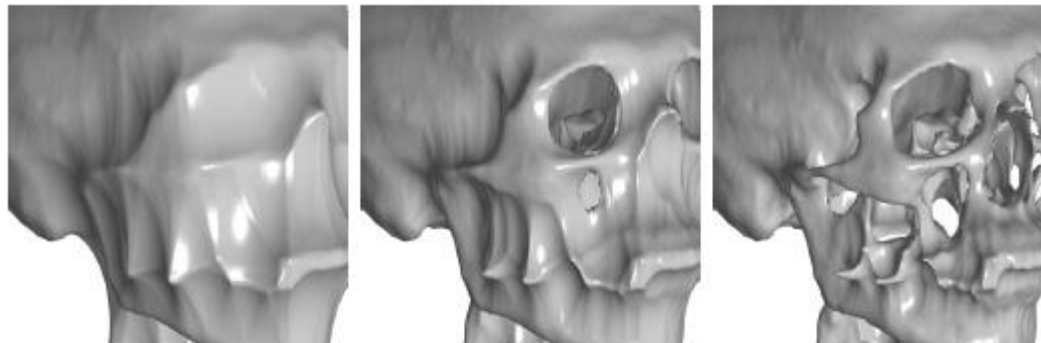
$$M(t, S) = J(t, S, T) = tD_S + (1 - t)D_T.$$

- Nezáleží na rode objektu
- Potrebne zjednotiť aproximácie oboch funkcií
- Priloženie objektov



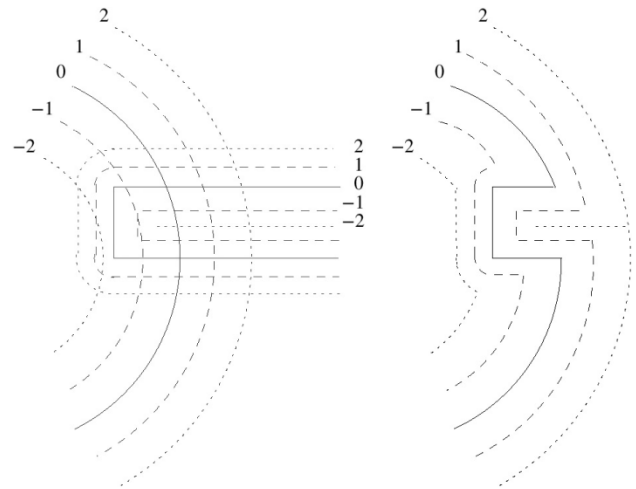
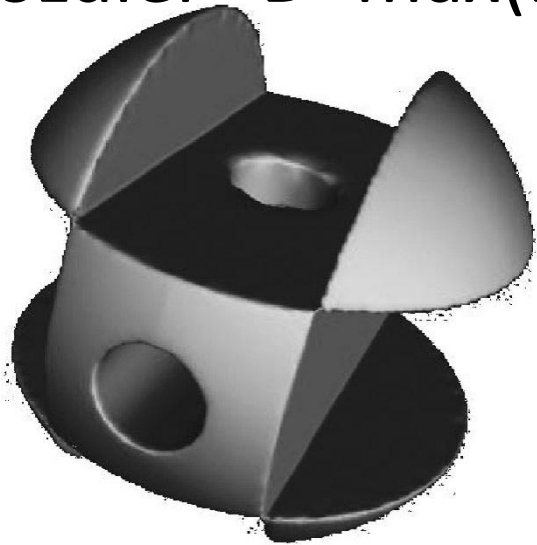
Morfológia

- Operácie pre úpravu diskretného signálu
- Erózia $X \ominus B = \{p | B_p \subset X\}$
- Dilatácia $X \oplus B = \{p | B_p \cap X \neq \emptyset\}$
- Uzavretie $X \bullet B = (X \oplus B) \ominus B$ $S^{\ominus r} = \{q : d'(q) = -r\}$ $S^{\oplus r} = \{q : d(q) = r\}$
- Otvorenie $X \circ B = (X \ominus B) \oplus B$



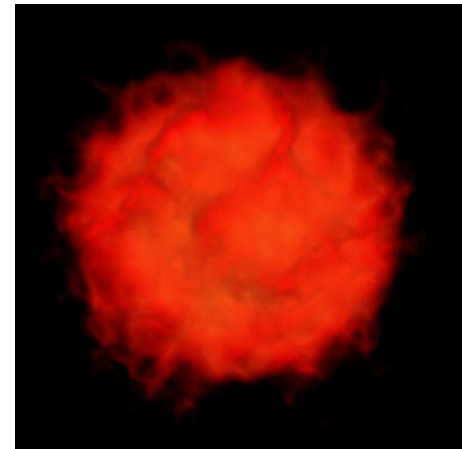
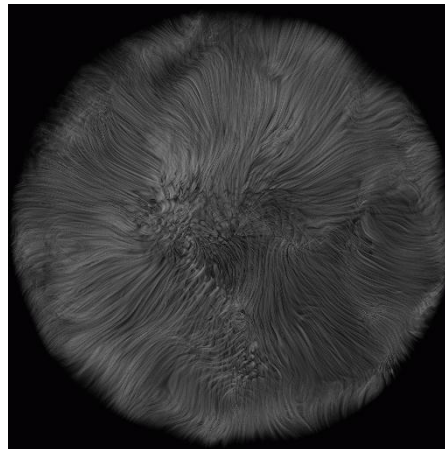
CSG operácie

- Jednoduché a rýchle výpočty prienikov, zjednotení a rozdielov
- Zjednotenie - $D = \min(D_1, D_2)$
- Prienik - $D = \max(D_1, D_2)$
- Rozdiel - $D = \max(D_1, -D_2)$

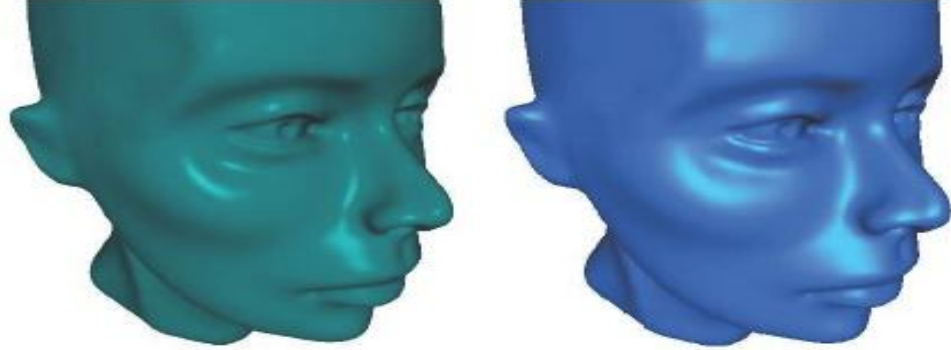


Hypertextúry

- Pridanie detailu nad povrch – srst', oheň, dym
 - Určenie regiónu pre namapovanie textúry
- $$D(p) = \begin{cases} 1 & \text{if } d(p)^2 \leq r_i^2 \\ 0 & \text{if } d(p)^2 \geq r_o^2 \\ \frac{r_o^2 - d(p)^2}{r_o^2 - r_i^2} & \text{otherwise,} \end{cases}$$
- Pomocou $d(p)$ sa určia ďalšie vlastnosti ako smer, dotyková plocha, tvorba šumu, ...



Vizualizácia



- Prevod do iných reprezentácií:
 - Polyhedrálna – marching cubes
 - Mračno bodov – priemety voxelov na povrch
- Vizualizácia 3D objemov
- Raytracing:
 - Pre voxle pozadia sa určujú regióny kde sa povrch nenachádza
 - Podobne pre prvý nájdený voxel pozdĺž lúča

koniec (-:

florek@sccg.sk